

روش جدید حل معادلات اندازه حرکت در شرایط همدما برای سیالات غیرنیوتونی در ناحیه سنجش اکسترودر

New Method of Momentum Equation Solving Under Isothermal Condition for Non-Newtonian Fluids in Metering Region

میر حمید رضا فربشی، مهدی رفیع زاده

مرکز تحقیقات و توسعه علوم و تکنولوژی مواد پلیمری

واژه های کلیدی:

اکستروژن، سیالات غیرنیوتونی، ناحیه سنجش، معادلات اندازه حرکت، معادله رنولوزیکی

مذاب پلیمرها از درون مجرای اکسترودر، نخستین گام در مدلسازی ریاضی این فرایند به شمار می آید و تقریباً در همه کارهای پژوهشی، حل هرچه دقیقتر این معادلات اهمیت بیشتری دارد. آنچه که در بی این مقدمه می آید، نخست مروری بر روشهای گوناگونی است که تاکنون در جهت حل معادلات اندازه حرکت در اکسترودرهای تک پیچه صورت گرفته است و سپس روش انتخابی مولفان مقاله ارائه خواهد شد. در ادامه، نتایج حاصل از تحلیل حرکت مذاب پلیمرهای پلی استیرن، پلی اتیلن سیک و سنگین و پلی پروپیلن به کمک مدلهای گوناگون از گرانزوی توسط یک برنامه کامپیوتری ارائه می شود و با نتایج حاصل از مدلسازیهای مشابه نیز مقایسه می گردد. این نتایج شامل گرادیانهای فشار در جهت‌های 2π و π و توزیع سرعت در جهت‌های 2π و π ، یعنی 72° و 72° می باشند. اشاره به این نکه خالی از فایده نیست که به دلیل تاکید روشهای جدید، از جمله روش ارائه شده در این مقاله، بر مدلهای پیچیده گرانزوی، به کارگیری روشهای عددی اجتناب ناپذیر است و از این رو، روش ارائه شده در این مقاله بیشتر بر تکنیک ریاضی حل مسئله تاکید دارد که در مقایسه با روشهای دیگر در مورد مواد پلیمری فراگیرتر است. نکته دیگر آنکه یک تحلیل درست از چگونگی حرکت سیالات پلیمری از درون مجرای اکسترودر زمانی میسر است که حل معادلات اندازه حرکت به صورت توأم با معادلات گرمای (روش ناهمدما) صورت گیرد. با وجود این، چون هدف اصلی این کار پژوهشی بهبود روش حل معادلات اندازه حرکت می باشد، از این رو به ارائه نتایج به دست آمده از حل معادلات یاد شده اکتفا شده است. بدینه است که به کارگیری این روش همراه با حل معادلات گرمابدون هیچ گونه اشکالی ممکن است.

مروری بر کارهای انجام شده
نخستین و ساده‌ترین مدلی که برای معادلات اندازه حرکت به کار گرفته

چکیده

حل معادلات اندازه حرکت در ناحیه سنجش یک ماریچ اکسترودر تک مجره، نخستین گام در مدلسازی ریاضی این فرایند به شمار می آید. به دلیل متفاوت بودن رفتار رنولوزیکی مذاب پلیمرها، روش حل مورد استفاده لزوماً باید مستقل از نوع معادله رنولوزیکی باشد. در کار پژوهشی حاضر نخست مروری شده بر روشهای گوناگونی که توسط سایر پژوهشگران در این زمینه به کار گرفته شده است. سپس، معادلات اندازه حرکت در حالت یک بعدی و شرایط همدما برای حرکت سیالات غیرنیوتونی مورد مطالعه قرار گرفته است. در ضمن، روش جدیدی بر منای تکنیک حل عددی ارائه و یک برنامه کامپیوتری به زبان C برای آن توشه شده است. به دنبال آن برای نشان دادن قابلیتهای روش یاد شده، برنامه کامپیوتری توشه شده برای جریان مذاب پلی استیرن، پلی اتیلن (سیک و سنگین) و پلی پروپیلن در شش حالت گوناگون اجرا شده که نتایج به دست آمده ارائه شده است.

مقدمه

بدون شک فرایند اکستروژن نه تنها به عنوان یکی از فرایندهای شکل دهنی پیشرفت محصولات پلیمری (مانند لوله ها، الیاف مصنوعی، پروفیلها) بلکه به عنوان پایه اغلب فرایندهای شکل دهنی پلیمرها (مانند فرایندهای تزریقی و قالبگیری دمشی)، از زمرة فرایندهای مهم در تکنولوژی پلیمرها به شمار می آید. از این رو، فعالیتهای پژوهشی زیادی از دیر باز در زمینه شناخت نظری این فرایند برای دستیابی به داشتن فنی طراحی و راهبری بهینه آن آغاز شده است. نگاهی گذرا به حجم کارهای پژوهشی صورت گرفته و در حال انجام در زمینه شکل دهنی مواد پلیمری به خوبی میتوان این نکه است. حل معادلات اندازه حرکت برای جریان

Key Words: extrusion, non newtonian fluids, metering region, momentum equations, rheological equation

که در آن η یا گرانزوی با معادله قانون توانی به صورت زیر بیان می‌شود:

$$\eta = \eta \left(\frac{dv_z}{dy} \right)^{\alpha-1} \quad (4)$$

که η ضریب ثابت و α مقدار شاخص قانون توانی است. فرحل معادله بالا را به روش تحلیلی مورد مطالعه قرار داده است [3]. معادله فرض شده برای گرانزوی اگرچه دارای جمله‌هایی است که به بیان رفتار غیرنیوتونی می‌پردازد، ولی مقدار سرعت برشی را با جمله ساده dv/dy نشان می‌دهد که به علت منظور نداشتن جمله dv/dy از دقت و کارآیی لازم برخوردار نیست. مدل کاملتر و بهتری که بتواند هر دو جمله یاد شده را در معادله گرانزوی منظور دارد باید دارای دو معادله اندازه حرکت در جهتهای x و z به طور توأم باشد که به صورت زیر خواهد بود:

$$\frac{\partial p}{\partial z} = \frac{d}{dy} \left(\eta \frac{dv_z}{dy} \right) \quad (5)$$

$$\frac{\partial p}{\partial x} = \frac{d}{dy} \left(\eta \frac{dv_x}{dy} \right) \quad (6)$$

شرایط مرزی برای این معادلات عبارت اند از:

$$y=0 \quad v_z=v_x=0 \quad (7)$$

$$y=H \quad v_z=v_x=\Pi D N C o s \theta, v_x=v_x=\Pi D N S i n \theta \quad (8)$$

که D قطر مارپیچ، N تعداد دور مارپیچ در واحد زمان، H ارتفاع مجراء، v_x و v_z به ترتیب سرعتهای ماکسیمم در جهتهای z و x می‌باشند. در این معادلات فرض شده است که η تابعی از سرعت برشی باشد، یعنی:

$$\eta = \eta \quad (9)$$

که η سرعت برشی است و مقدار آن از رابطه زیر به دست می‌آید:

$$\eta = \left[\left(\frac{dv_z}{dy} \right)^2 + \left(\frac{dv_x}{dy} \right)^2 \right]^{1/2} \quad (10)$$

چگونگی حل این معادلات توسط پژوهشگران مختلف و توسط روشاهای گوناگون مورد مطالعه و بررسی قرار گرفته است که معروفترین آنها تکنیک معرفی شده توسط فر است [3,4]. در این روش یک معادله با قانون توانی برای گرانزوی به صورت زیر در نظر گرفته می‌شود:

$$\eta = \eta \left[\left(\frac{dv_z}{dy} \right)^{\alpha-1} + \left(\frac{dv_x}{dy} \right)^{\alpha-1} \right]^{\frac{1}{\alpha-1}} \quad (11)$$

روش حل مبتنی بر قراردادن معادله ۱۱ در معادلات ۵ و ۶ و انتگرال‌گیری از آنها و به کارگیری شرایط مرزی و سرانجام جایگزینی نتایج حاصل از انتگرال‌گیری در معادلات زیر است:

$$q_z = W \int_0^H v_z(y) dy \quad (12)$$

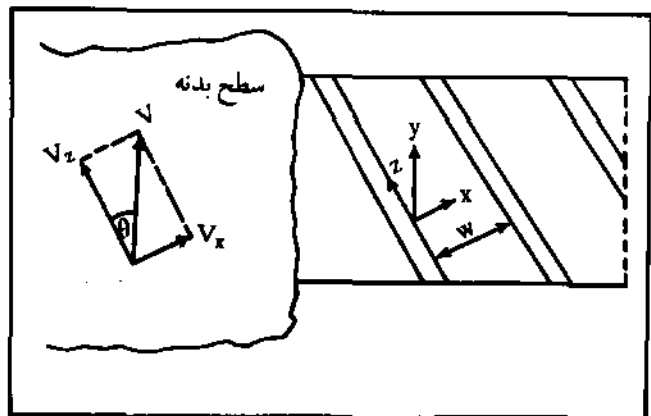
$$q_x = \int_0^H v_x(y) dy = 0 \quad (13)$$

شده، بر مبنای مدل نیوتونی گرانزوی بوده است که در چنین حالتی معادلات اندازه حرکت به صورت زیر می‌باشند:

$$\frac{\partial p}{\partial z} = \eta \left(\frac{\partial v_z}{\partial y} + \frac{\partial v_x}{\partial x} \right) \quad (1)$$

$$\frac{\partial p}{\partial x} = \eta \frac{\partial v_x}{\partial y} \quad (2)$$

که η به ترتیب گرادیانهای فشار در جهتهای z و x و η گرانزوی نیوتونی است. شکل ۱ طرحی از وضعیت هندسی مجرای اکسترودر همراه با محورهای مختصات انتخابی نشان می‌دهد.



شکل ۱ - وضعیت هندسی مجرای یک اکسترودر همراه با محورهای مختصات انتخابی

در این شکل z جهت اصلی جریان، x جهت عرضی جریان (در راستای پهنهای مجراء) و y جهت عمود بر کف مجراء را نشان می‌دهد. همچنین، θ میان زاویه مارپیچ با زاویه بین پره (flight) و صفحه عمود بر محور اصلی مارپیچ است. یادآوری می‌شود که دو فرض اساسی مدلسازی اکستروژن، یعنی ثابت فرض کردن مارپیچ و گردش پوسته به دور آن و صرفنظر کردن از انحنای مارپیچ، در این شکل منظور شده است. معادلات بالا براساس فرض دو بعدی بودن جریان در جهت z و یک بعدی بودن آن در جهت x توشه شده‌اند که به راحتی می‌توان از روی آنها معادلات یک بعدی جریان را نیز به دست آورد. حل این معادلات به روش تحلیلی میسر است [1,2]. اشکال عمده این مدل منظور نداشتن رفتار غیرنیوتونی بسیاری از سیالات پلیمری است و از این رو، تلاش زیادی شده است تا به نوعی رفتار غیرنیوتونی در معادلات بالا گنجانده شود. مدل کمی پیچیده‌تر که به اعمال رفتار غیرنیوتونی سیال در معادلات می‌پردازد، مدلی یک بعدی است که توسط فر معرفی شده است [3]. شکل معادلات اندازه حرکت در این حالت به صورت زیر است:

$$\frac{\partial p}{\partial z} = \frac{d}{dy} \left(\eta \frac{dv_z}{dy} \right) \quad (2)$$

معادله مشخص از گرانزوی بوده‌اند. ولی، از آنجاکه رفتار رئولوژیکی پلیمرها اغلب با یکدیگر متفاوت است و حتی برای یک پلیمر مشخص در سرعتهای برشی مختلف تغییر می‌کند، از این رو در روش پیشنهادی سعی شده است که وابستگی به معادله گرانزوی به نوعی حذف شود تا امکان به کارگیری آن برای هر پلیمر و با هر رفتار رئولوژیکی میسر گردد.

برای حل معادلات یاد شده، ابتدا یک سری جمله‌های بدون بعد

به صورت زیر در نظر گرفته شده‌اند:

$$\Pi_p = \frac{(\partial p / \partial z) H^t}{\eta(b) V_z} \quad (15)$$

$$\Pi_T = \frac{(\partial p / \partial x) H^t}{\eta(b) V_x} \quad (16)$$

$$\Pi_V = \frac{q_2}{W H V_z} \quad (17)$$

$$y^* = y/H, w^* = v_z/V_z, u^* = v_x/V_z, \eta^* = \eta/\eta(b) \quad (18)$$

در روابط بالا، Π_p و Π_T به ترتیب گردایانهای فشار در جهت z و x و η^* بدون بعد، $\eta(b)$ گرانزوی در روی پوسته (به ازای سرعت برشی معادل V_z/H)، w^* گرانزوی بدون بعد، y^* و u^* مولفه‌های سرعت بدون بعد در جهتهای z و x و سرانجام η^* عوامله جهت z بدون بعد است.

با قرار دادن جمله‌های بدون بعد یاد شده در معادلات ۵ و ۶ این

روابط به صورت زیر در می‌آیند:

$$\Pi_p = \frac{d}{dy^*} (\eta^* \frac{dw^*}{dy^*}) \quad (19)$$

$$\Pi_T = \frac{d}{dy^*} (\eta^* \frac{du^*}{dy^*}) \quad (20)$$

که شرایط مرزی معادلات بالا به صورت زیر است:

$$y^* = 0, \quad w^* = u^* = 0 \quad (21)$$

$$y^* = 1, \quad w^* = 1, \quad u^* = \lg \theta \quad (22)$$

همچنین معادلات ۱۲ و ۱۳ به صورت زیر در می‌آیند:

$$\Pi_V = \int_0^1 w^* dy^* \quad (23)$$

$$\int_0^1 u^* dy^* = 0 \quad (24)$$

با انتگرال گیری از معادلات ۱۹ و ۲۰ خواهیم داشت:

$$w^* = \Pi_p \int_0^1 y^* \frac{(y^* - y_1^*)}{\eta^*} dy^* \quad (25)$$

$$u^* = \Pi_T \int_0^1 y^* \frac{(y^* - y_1^*)}{\eta^*} dy^* \quad (26)$$

که y^* و u^* به ترتیب ناقاطی روی منحنی نیميخهای سرعت در

که q_2 و q_x به ترتیب مقادیر دبی در جهتهای z (دبی اصلی جریان) و x (جریان نشتی) می‌باشد. معادله ۱۳ مینصفه بودن مقدار دبی در جهت x یا صرفنظر کردن از جریان نشتی می‌باشد. در این روش با فرض یک مقدار ثابت برای دبی سعی می‌شود تا مقادیر $\partial p / \partial z$ و $\partial p / \partial x$ برای آنها تعیین گردد. این نکته از اهمیت به سزاوی برخوردار است، زیرا معادلات بالا در طول اکسترودر (جهت z) باید به دفعات حل شوند و از آنجاکه در جهت z مقادیر گردایانهای فشار (به دلیل تغییر در دما و گرانزوی) تغییر می‌کند و مقدار دبی ثابت است، بدینه است که راه حل باید بر مبنای یک دبی معالم و مقادیر گردایانهای فشار مجهول استوار باشد.

البرلی و لیندت [۵] نیز حل معادلات بالا را با فرض معادله گرانزوی قانون توانی، یعنی معادله ۱۱، مورد مطالعه قرار داده‌اند. پلیمر مورد مطالعه ایشان پلی استیرن با مشخصات رئولوژیکی گزارش شده توسط فنر است [۴]. البرلی و آملال نیز همین سیستم معادلات را بافرض رفتار رئولوژیکی قانون توانی برای پلی اتیلن سبک (LLDPE) حل و نتایج را گزارش کرده‌اند [۶]. استرل [۷] حرکت پلی اتیلن سبک را با فرض پیروی کردن آن از رفتار رئولوژیکی قانون توانی و به کارگیری سیستم معادلات یاد شده مورد مطالعه قرار داده است. آگورو و لاچوبولوس [۸] در کار پژوهشی خود که به مدل‌سازی کامل فرایند اکستروژن گرمائزها می‌پردازد، سیستم معادلات یاد شده را به کار گرفتند. ویژگی کار ایشان در انتخاب مدل رئولوژیکی متفاوتی نسبت به رفتار قانون توانی است. مدل گرانزوی مورد استفاده ایشان به صورت زیر می‌باشد:

$$Ln y = a_0 + a_1 Ln y + a_2 (Ln y)^2 + a_3 t + a_4 t^2 + a_5 (Ln y)t \quad (14)$$

که در آن t دما بر حسب $^{\circ}\text{C}$ و a_0 تا a_5 ضرایبی ثابت می‌باشد. پلیمر مورد استفاده در کار پژوهشی ایشان پلی اتیلن سبک و سنگین بوده که در کار پژوهشی حاضر، همان طور که در بخش‌های بعدی مقاله بدان اشاره خواهد شد، نیز مورد استفاده قرار گرفته است.

روش جدید حل معادلات

همان گونه که در مقدمه بدان اشاره شد هدف اصلی در این کار پژوهشی حل معادلات اندازه حرکت در حالت یک بعدی برای جریان سیالات پلیمری از درون مجرای یک مارپیچ اکسترودر است. معادلات اندازه حرکت برای حالت مورد بحث به صورت معادلات ۵ و ۶ با شرایط مرزی بیان شده در روابط ۷ و ۸ می‌باشند. مسئله عدمه در حل معادلات یاد شده وجود عبارت η^* یا گرانزوی است که به دلیل وابسته بودن آن به سرعت برشی، معادلات اندازه حرکت حالت غیر خطی پیدا می‌کند و حل آنها حتی از راه عددی دچار دشواری‌هایی می‌شود. همان طور که در قسمت قبل بدان اشاره شد کلیه راههای عرضه شده تاکنون مبتنی بر به کارگیری یک

جهت‌های z و x هستند که برای آنها مقادیر تنش برشی σ_z و σ_x برابر صفر است.

از قرار دادن شرایط مرزی (۲۱) و (۲۲) در معادلات ۲۵ و ۲۶ و جایگزین کردن معادلات ۲۵ و ۲۶ در روابط ۲۳ و ۲۴ و همچنین انجام عملیات ریاضی مورد نیاز، چهار معادله زیر حاصل خواهند شد:

$$\Pi_P = \beta(J_1 - J_2 - J_3, \Pi_V) \quad (27)$$

$$\Pi_{Py_1^*} = \beta(J_1 - J_2 - J_3, \Pi_V) \quad (28)$$

$$\Pi_T = \beta(J_1 - J_2 - J_3) \tan\theta \quad (29)$$

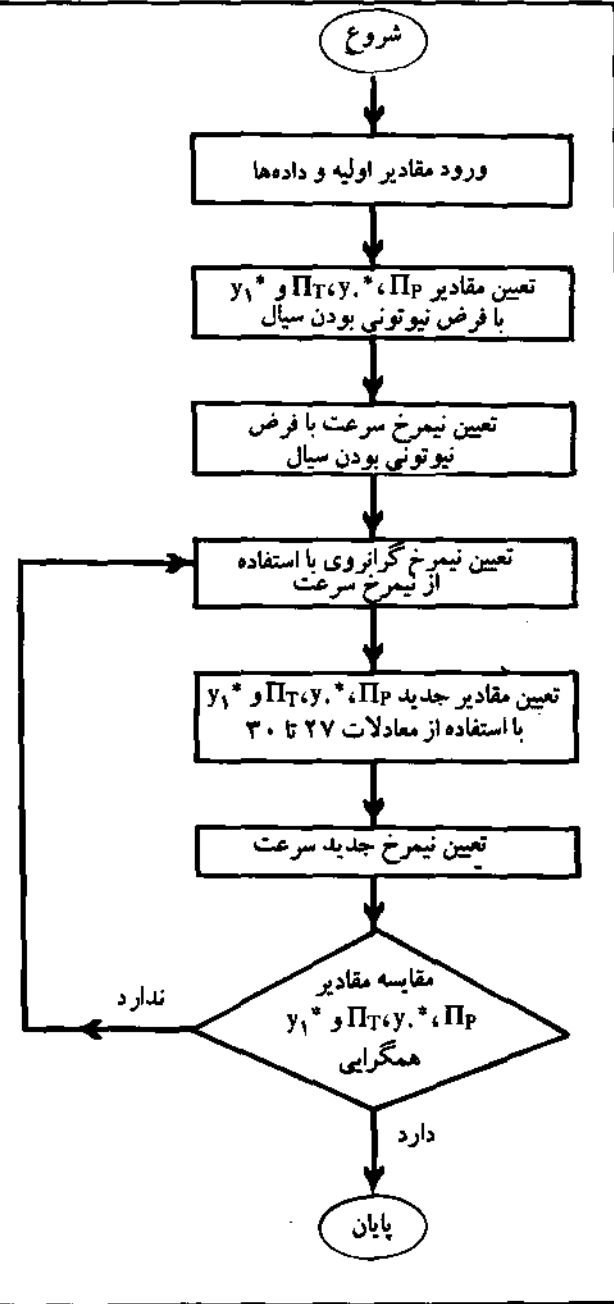
$$\Pi_{Ty_1^*} = \beta(J_1 - J_2) \tan\theta \quad (30)$$

که در این روابط

$$J_m = \int_0^1 \frac{y^{m+1}}{\eta^2} dy \quad (31)$$

$$\beta = (J_1 - J_2 - J_3)^{-1} \quad (32)$$

چهار مجهول Π_P ، Π_T ، y_1^* و $\Pi_{Ty_1^*}$ از این معادلات وجود دارند که باید مشخص شوند. حل معادلات به شکل عددی و بدین صورت است که ابتدا جهت y_1^* به تعداد معینی فاصله تقسیم بندی می‌شود و سپس با فرض نیوتونی بودن رفتار سیال، چهار مقدار برای مجهولات یاد شده به دست می‌آید. برای ساده سازی محاسبات، چهار مجهول به صورت Π_P ، Π_T ، $\Pi_{Py_1^*}$ و $\Pi_{Ty_1^*}$ در نظر گرفته می‌شوند و از روی آنها مقادیر نیمرخهای سرعت و سرانجام مقادیر گرانزوی، از روی نیمرخهای سرعت به دست می‌آیند. با معلوم بودن نیمرخ گرانزوی، چهار مقدار جدید برای مجهولات مورد بحث از روی معادلات ۲۰ تا ۲۷ و نیمرخهای سرعت از معادلات ۲۵ و ۲۶ محاسبه می‌شوند و با مقادیر قبلی خود مقایسه می‌گردند. چنانچه مقدار خطای حاصل از حد معینی کمتر نباشد، دوباره نیمرخ گرانزوی جدیدی به دست می‌آید و چهار مقدار دیگر برای مجهولات یاد شده محاسبه و با مقادیر قبلی مقایسه می‌شوند. ولی، در صورتی که مقدار خطای حد معینی کمتر باشد، مسئله حل شده ثقیل می‌گردد و محاسبه به پایان می‌رسد. براساس الگوریتم طرح شده در قسمت قبل یک برنامه کامپیوتری به زبان C تهیه شد که قادر به انجام محاسبات یاد شده است. نگاره جریان این برنامه کامپیوتری مطابق شکل ۲ است.



شکل ۲ - نگاره جریان برنامه کامپیوتری براساس روش جدید حل معادلات

همان طوری که از نگاره جریان بالا و نیز معادلات برداشت می‌شود، در تعیین نیمرخ گرانزوی برنامه محدود به استفاده از هیچ گونه معادله خاصی نیست. به عبارت بهتر، هر نوع معادله گرانزوی قابل استفاده با این برنامه است.

نتایج و بحث

در مرحله بعد، این برنامه برای مذاب چندین پلیمر و با مدلهای مختلف از

می دهد. تفاوت بین حالت ۱ و ۲ در این است که محاسبات مربوط به حالت دوم با استفاده از الگوریتم پیشنهاد شده توسط فر [4] انجام شده در

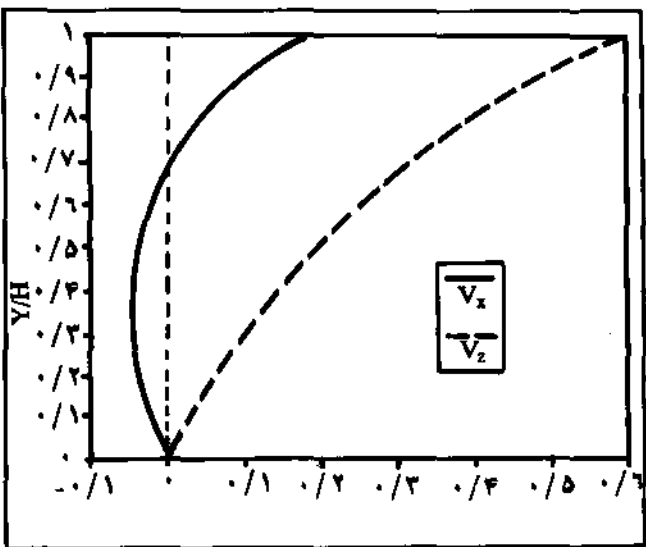
گرانزوی اجرا شد. جمعاً شش بار برنامه اجرا شد که مشخصات کامل هر یک از حالتها در جدول ۱ آمده است.

جدول ۱ - مشخصات پلیمر مورد استفاده، مدل گرانزوی و شرایط فراورش

مشخصات مارپیچ و شرایط فراورش						مرجع دما (°C)	مدل گرانزوی	نوع پلیمر	شماره حالت
q (m³/sec)	θ (deg)	$\frac{H}{W}$	H(m)	W(m)	D(m)				
۰/۰۰۰۱۴۳	۱۷/۶۶	۱۰/۰	/۰/۰۶۰	/۱۰۲۰	/۱۲	۲۲۰	۲	$\eta = \eta_{\text{ref}}^{-1}$	۱
۰/۰۰۰۱۴۳	۱۷/۶۶	۱۰/۰	/۰/۰۶۰	/۱۰۲۰	/۱۲	۲۲۰	۲	$\eta = \eta_{\text{ref}}^{-1}$	۲
۵/۱۰۸x۱۰⁻۷	۱۷/۶۶	۶/۰	/۰/۰۴۰	/۰۳۴۰	/۰۴	۱۶۴	۷	$\eta = \eta_{\text{ref}}^{-1}$	۳
۲۰x۱۰⁻۷	۱۷/۶۶	۶/۰	/۰/۰۲	/۰/۰۳	/۰/۰۲۸۱	۱۷۰	۸	معادله ۱۴	۴
۲۰x۱۰⁻۷	۱۷/۶۶	۶/۰	/۰/۰۲	/۰/۰۳	/۰/۰۲۸۱	۱۹۰	۸	معادله ۱۴	۵
۲/۱۰۸x۱۰⁻۷	۱۷/۶۶	۶/۰	/۰/۰۲	/۰/۰۳	/۰/۰۲۸۱	۱۸۰	۹	* $\eta_{\text{ref}} = 1 + \frac{1}{(2/2)(2/2)}$	۶

حالی که محاسبات حالت اول براساس الگوریتم پیشنهادی در این کار پژوهشی صورت گرفته است.

* در معادله آلبس « شاخص معادله و η و η_{ref} ضرایب ثابت اند.



شکل ۳ - نمودار توزیع سرعت در جهت‌های ۲ و x برای حالت ۱

ج - حالت ۳: در این حالت پلیمر مورد استفاده پلی اتیلن سبک با معادله رئولوژیکی قانون توانی (مطابق جدول ۱) می باشد. ضرایب ثابت این پلیمر برابر $n = ۰/۴۵$ و $G = ۹۱۹۶۹/۶۸$ Pa-Sec است [7]. مقدار گرادیانهای فشاری محاسبه شده برای حالت ۱ آمده است. شکل ۵ نمودار توزیع سرعت V_2 و V_x را در جهت x نشان می دهد.

د - حالت ۴: در این حالت پلیمر مورد استفاده پلی اتیلن سبک با معادله رئولوژیکی ارائه شده در معادله ۱۴ است. ضرایب ثابت این معادله برابرند با [8]:

نتایج عددی حاصل از تحلیلهای بالا به شرح زیر است:

الف - حالت ۱: در این حالت پلیمر مورد استفاده پلی استیرن با معادله رئولوژیکی قانون توانی (مطابق جدول ۱) می باشد. ضرایب ثابت این پلیمر برابر $n = ۰/۳۶$ و $G = ۶۹۵۵/۵۹۴$ Pa-Sec است [3]. مقدار گرادیانهای فشاری محاسبه شده برای این حالت در جدول ۲ آمده است. شکل ۶ نمودار توزیع سرعت V_2 و V_x را در جهت x نشان می دهد.

جدول ۲ - مقدار گرادیانهای فشاری محاسبه شده برای حالت‌های ۱ تا ۶

شماره حالت	گرادیان فشار در جهت x (Pa/m), $(\partial p / \partial z)$	گرادیان فشار در جهت z (Pa/m), $(\partial p / \partial z)$
۱	۸۸۳۳۹۲۷	۲۰۲۱۰۶۱
۲	۸۸۵۳۶۴۷	۲۰۵۲۶۷۴
۳	۱۶۳۰۱۷۰۰۹	۱۰۴۱۵۴۸۶۹
۴	۴۹۱۴۰۱۹۱	۲۸۰۷۵۱۴۹
۵	۵۲۱۷۸۹۲۹	۴۴۲۷۶۰۲۵
۶	۲۲۰۲۲۲۱۹	۱۳۱۴۶۶۸۱۲

ب - حالت ۲: در این حالت پلیمر مورد استفاده پلی استیرن با معادله رئولوژیکی قانون توانی (مطابق جدول ۱) می باشد. ضرایب ثابت این پلیمر برابر $n = ۰/۳۶$ و $G = ۶۹۵۵/۵۹۴$ Pa-Sec است [3]. مقدار گرادیانهای فشاری محاسبه شده برای این حالت در جدول ۲ آمده است. شکل ۷ نمودار توزیع سرعت V_2 و V_x را در جهت x نشان می دهد.

$$a_0 = 9/95245$$

$$a_1 = -0/782449$$

$$a_2 = -0/0114977$$

$$a_3 = 8/500.87 \times 10^{-7}$$

$$a_4 = -3/930.29 \times 10^{-6}$$

$$a_5 = 1/41090 \times 10^{-5}$$

$$a_0 = 11/78248$$

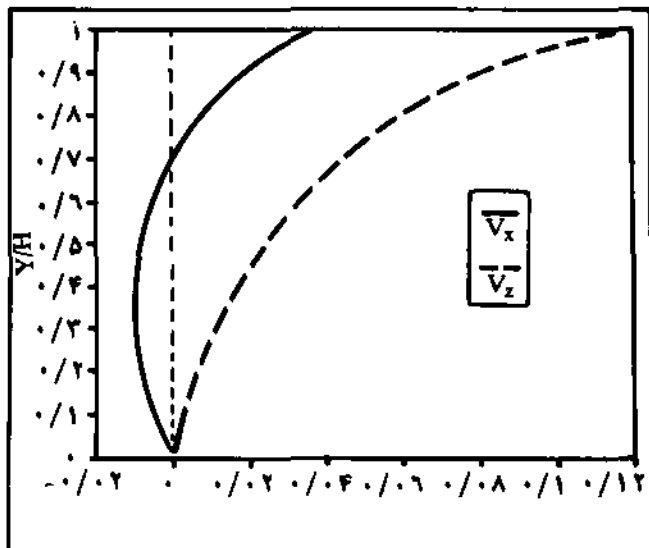
$$a_1 = -0/639104$$

$$a_2 = -0/0112774$$

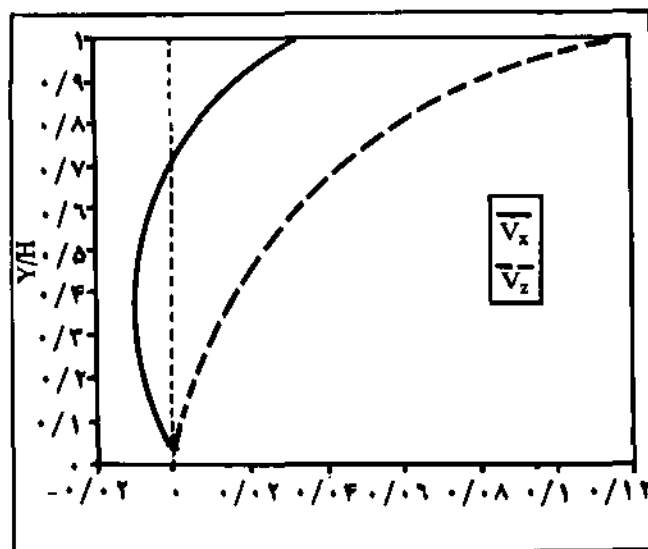
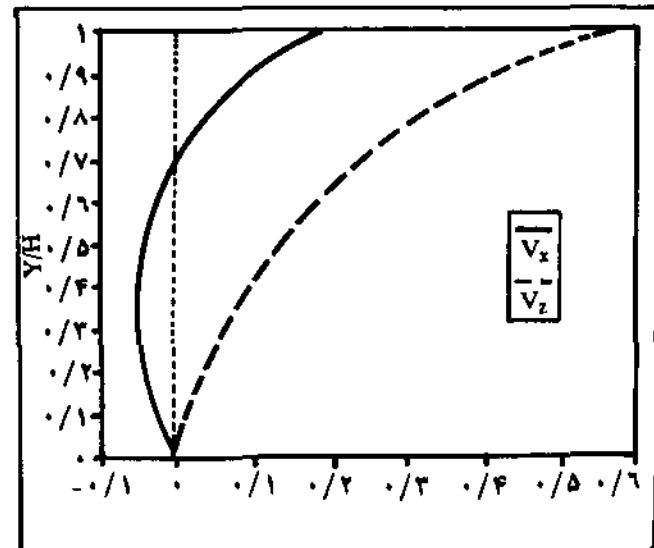
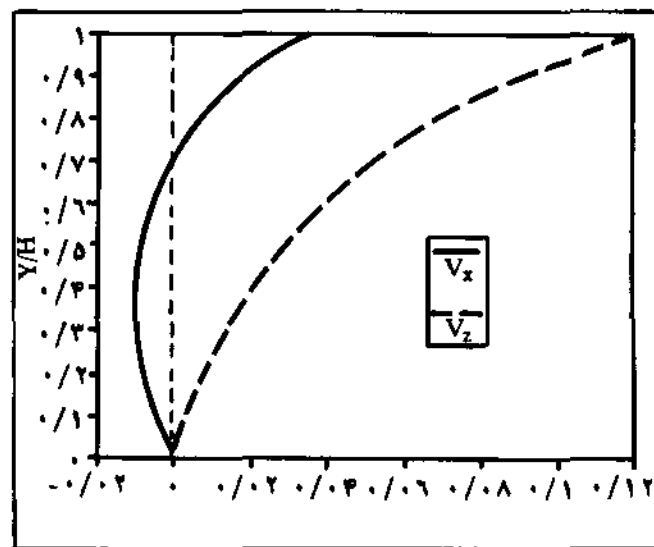
$$a_3 = -0/0182449$$

$$a_4 = 8/78448 \times 10^{-7}$$

$$a_5 = 9/66512 \times 10^{-6}$$

شکل ۶- نمودار توزیع سرعت در جهت‌های z و x برای حالت ۴

مقادیر گرادیانهای فشاری محاسبه شده برای این حالت در جدول ۲ آمده است. شکل ۷ نمودار توزیع سرعت v_z و v_x را در جهت z نشان می‌دهد.

شکل ۷- نمودار توزیع سرعت در جهت‌های z و x برای حالت ۵شکل ۴- نمودار توزیع سرعت در جهت‌های z و x برای حالت ۲شکل ۵- نمودار توزیع سرعت در جهت‌های z و x برای حالت ۳

مقادیر گرادیانهای فشاری محاسبه شده برای این حالت در جدول ۲ آمده است. شکل ۶ نمودار توزیع سرعت v_z و v_x را در جهت z نشان می‌دهد.
۵- حالت ۵: در این حالت پلیمر مورد استفاده پلی اتیلن سنگین با معادله رئولوژیکی ارائه شده در معادله ۱۴ می‌باشد. ضرایب ثابت این

خوبی ضرورت کاربرد یک روش عددی که مستقل از معادله رئولوژیکی باشد احساس می‌شود. روش یاد شده در این پژوهش به راحتی از عهده این کاربرمی‌آید. از سوی دیگر، همان گونه که ملاحظه می‌شود، معادلات مورد استفاده یک بعدی می‌باشند. با توجه به اینکه برای مقادیر H/W (نسبت ارتفاع به پهنای مجرأ) زیاد رفتار از حالت یک بعدی دور می‌شود، ضرورت حل معادلات در حالت دو بعدی مشخص می‌شود که می‌تواند خود به عنوان یک کارپژوهشی نو مطرح باشد.

و- حالت ۶-در این حالت پلیمر مورد استفاده پلی بروپیلن با معادله رئولوژیکی الیس (Ellis) است که معادله آن در جدول ۱ داده شده است. مقادیر ضرایب این معادله برای پلیمر مورد بحث برابرند با [۹]:

$$\alpha = 2/72$$

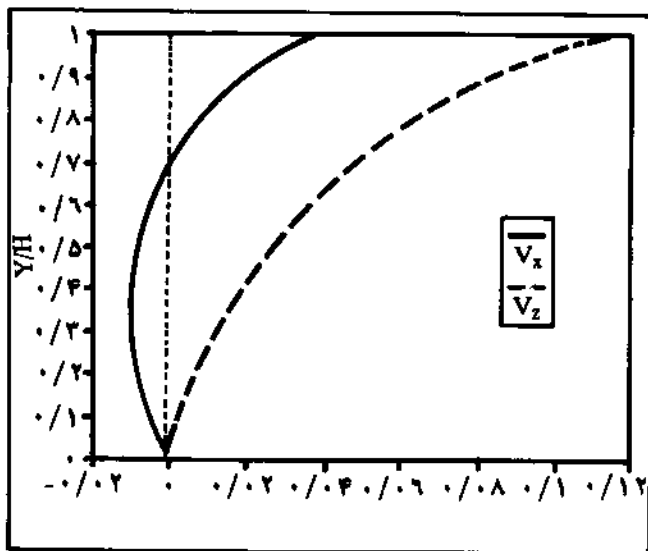
$$7_x = 4/21 \times 10^3$$

$$7_{12} = 9/57 \times 10^3$$

مقادیر گرداینهای فشاری محاسبه شده برای این حالت در جدول ۲ آمده است. شکل ۸ نمودار توزیع سرعت z و x را در جهت لانشان می‌دهد. اشاره به این نکه ضرورت دارد که معادله رئولوژیکی الیس به گونه‌ای است که امکان محاسبه مستقیم τ بر حسب مقدار معینی از سرعت برشی را به دست نمی‌دهد، از این رو یک الگوریتم بر مبنای روش نیوتون - رفسن (Newton - Raphson) برای محاسبه گواروی از معادله رئولوژیکی الیس، در برنامه کامپیوتری پیش گفته به کار گرفته شد.

مراجع

- [1] Bernhardt, E.C., Processing of Thermoplastic Materials, Reinhold, New York, 1974.
- [2] Tadmor, Z., Klein, I., Engineering Principles of Plasticating Extrusion, Van Nostrand - Reinhold New York, 1970.
- [3] Fenner, R.T., Principles of Polymer Processing, Mac Millan Press, 1979.
- [4] Pearson, J.R., Richardson S.M., Computational Analysis of Polymer Processing, Ch.4, Applied Science Pub. London, 1983.
- [5] Elbirli, B., Lindt, J.T., A Note on the Numerical Treatment of the Thermally Developing Flow in Screw Extruder, Polymer Eng. & Sci., Vol.24, No.7, 1984.
- [6] Elbirli, B., Amellal, K., Performance Study of Variable Pitch Metering Screws for Processing LLDPE Melts, ANTEC 87, Proceeding of 45th Annual Tech Conference and Exhibition, Los Angeles, 4-7 May 1987.
- [7] Steller, R.T., Theoretical Model for Flow of Polymer Melts in the Screw Channel, Polymer Eng. & Sci., Vol.30, No.7, 1990.
- [8] Agur, E.E., Vlachopoulos J., Polymer Eng. & Sci., Vol.22, No 7, 1982.
- [9] Tadmor, Z., Gogos C.G., Principle of Polymer Processing, John Wiley & Sons, New York, 1979.



شکل ۸- نمودار توزیع سرعت در جهتهای z و x برای حالت ۶

نتیجه‌گیری

حل معادلات اندازه حرکت برای جریان سیالات پلیمری در حالت یک بعدی در مجرای اکسترودر با استفاده از معادلات رئولوژیکی گوناگون که در این مقاله مورد بحث و بررسی قرار گرفت، نخستین گام در مدلسازی ریاضی فرایند اکستروژن به شمار می‌آید. روش عددی ارائه شده در این مقاله تکنیک جدیدی است که برخلاف سایر روش‌های ارائه شده، مبتنی بر یک معادله رئولوژیکی خاص نیست و به کارگیری هر نوع رفتار رئولوژیکی و حتی استفاده مستقیم از داده‌های آزمایشگاهی را ممکن می‌سازد. بنابراین، با توجه به رفتارهای مختلفی که مواد پلیمری گوناگون در حالت سیال و در سرعتهای برشی مختلف نشان می‌دهند، به